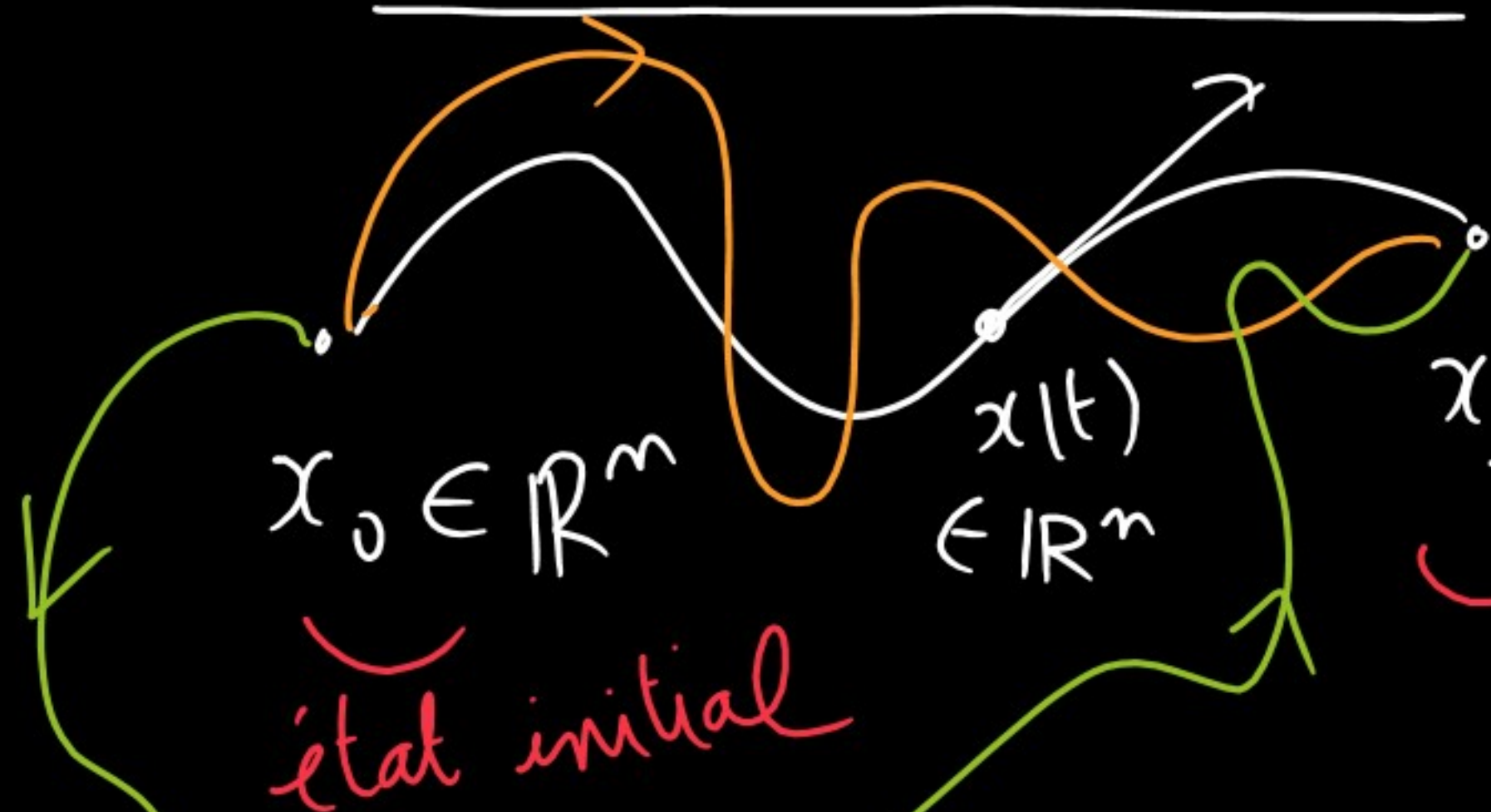


Commande optimale

1. Introduction



$$\dot{x}(t) = \frac{dx}{dt}(t)$$

$$\dot{x}(t) = f(\overbrace{x(t)}^{\text{état à l'instant } t}, \underbrace{u(t)}_{\text{contrôle en } t, u(t) \in \mathbb{R}^m}) : \text{EDO}$$

dynamique du
système

t_f : temps final (fixé ou non)
 t_0 : — " — initial

Les questions que l'on se pose :

i) commandabilité (contrôlabilité) : existe-t-il un contrôle admissible (ie qui relie x_0 à x_f) ?

ii) existence d'un minimiseur : étant donnée une fonction coût (critère...) du type Lagrange (CS existence : Th. Filippov)

$$\int_0^{t_f} f^0(x(t), u(t)) dt \rightarrow \min$$

$f^0: \mathbb{R}^n \times \mathbb{R}^m \rightarrow \mathbb{R}$

iii) condition nécessaire ($\text{PMP} = \text{principe du maximum de Pontrjagin}$) :

$$(x|y) = \sum_{i=1}^m x_i \cdot y_i$$

si $\bar{u} (\in \mathcal{L}^\infty([0, t_f], \mathbb{R}^m))$ est solution, ALORS (CN) que vérifie \bar{u} ? ($\simeq \text{KKT}$ pour un pb d'opti en $\boxed{\text{dim } \infty}$)

→ §3. PMP, §4. Tin simple

→ résolution directe §2. sous forme d'un pb d'opti en $\boxed{\text{dim} < \infty}$

discretisation

Rappel : KKT = Karush-Kuhn-Tucker :

si $\bar{x} \in C$ sol., $\exists (\bar{\lambda}_0, \bar{\lambda}, \bar{\mu}) \neq (0, 0, 0)$ tq

i) $\nabla_x L(\bar{x}, \bar{\lambda}_0, \bar{\lambda}, \bar{\mu}) = 0$, ii) $\bar{\mu} \geq 0$, iii) $(\bar{\mu} | g(\bar{x})) = 0$

$f(x) \rightarrow \min$

$h(x) = 0$

$g(x) \leq 0$

$(\Leftrightarrow) x \in C \subset \mathbb{R}^m$

avec $L(x, \lambda_0, \lambda, \mu) := \lambda_0 f(x) + (\lambda | h(x)) + (\mu | g(x))$
(le lagrangien du pb)

• Formulation du problème de Lagrange : on cherche un contrôle
 $u \in L^\infty([0, t_f], \mathbb{R}^m)$ (fonctions essentiellement bornées) tq,
si $x \in W^{1, \infty}([0, t_f], \mathbb{R}^n)$ (fonctions lipschitziennes) est la trajectoire
associée qui vérifie
$$\begin{cases} \dot{x}(t) = f(x(t), u(t)) , \\ x(0) = x_0 \end{cases} \quad \text{on a } x \text{ et } u \text{ qui minimisent}$$

le coût de Lagrange

$$\int_0^{t_f} f^0(x(t), u(t)) dt \rightarrow \min$$

sous les contraintes

dynamique

presque partout

conditions
aux
deux
bords

$$\dot{x}(t) = f(x(t), u(t)), t \in [0, t_f] \text{ (p.p.)}$$

$$x(0) = x_0, x(t_f) = x_f$$

contraintes
sur u

$$\text{et } u(t) \in U \subset \mathbb{R}^m, t \in [0, t_f] \text{ (p.p.)}$$

ensemble des
contraintes

On dit alors que $\bar{u} \in \mathcal{L}^\infty([0, t_f], \mathbb{R}^m)$ est sol. si, quel que soit $u \in \mathcal{L}^\infty([0, t_f], \mathbb{R}^m)$ admissible (ie qui vérifie les contraintes ci-dessus)

alors

$$\int_0^{t_f} f^0(\bar{x}(t), \bar{u}(t)) dt \leq \int_0^{t_f} f^0(x(t), u(t)) dt$$

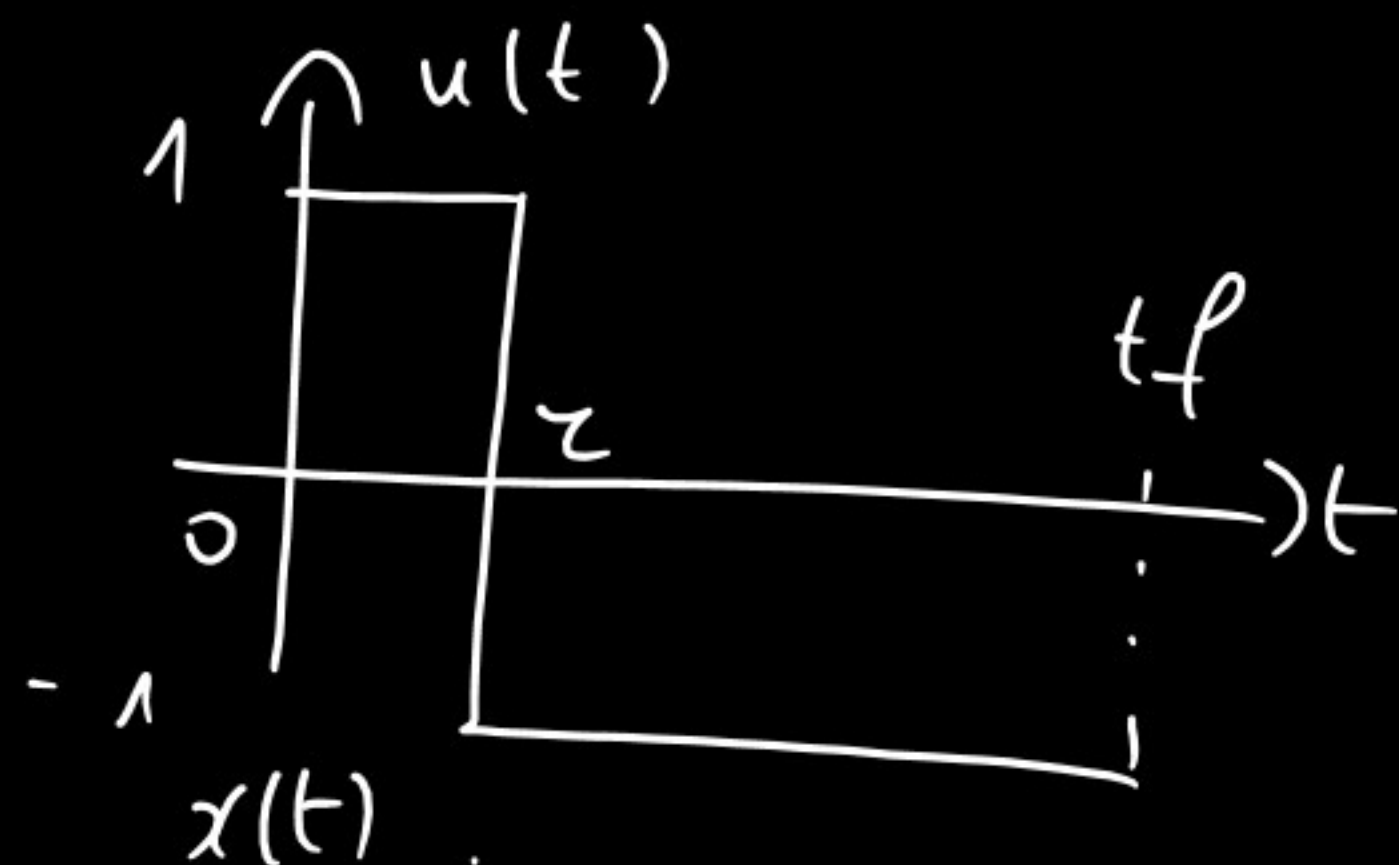
où \bar{x} est la trajectoire associée à \bar{u} ,
 $x \text{ --- " --- } u$

Rq: i) soit $u \in \mathcal{L}^\infty([0, t_f], \mathbb{R}^m)$, si on note $g(t, x) = f(x, u(t))$
 on a existence et unicité d'une solution maximale
 de l'EDO $\begin{cases} \dot{x}(t) = \frac{dx}{dt}(t) = x'(t) = g(t, x(t)), \text{ p.p. } t \\ x(0) = x_0 \end{cases}$
 d'après le th. de Carathéodory. (NB. sol. x Lipschitz, par \mathcal{C}^1 !)

$u \in \mathcal{L}^\infty$
 \downarrow
 $\notin \mathcal{C}^0 \dots$

ex: $x(t) = u(t)$ (ie $f(x, u) := u$, $f: \mathbb{R}^n \times \mathbb{R}^m \rightarrow \mathbb{R}^n$, $n=m$)

+ c.i. $x(0) = 1$



(et $x(t) = \underbrace{x(0)}_1 + \int_0^t \underbrace{u(s)}_{x(s)} ds$, $t \in [0, t_f]$,

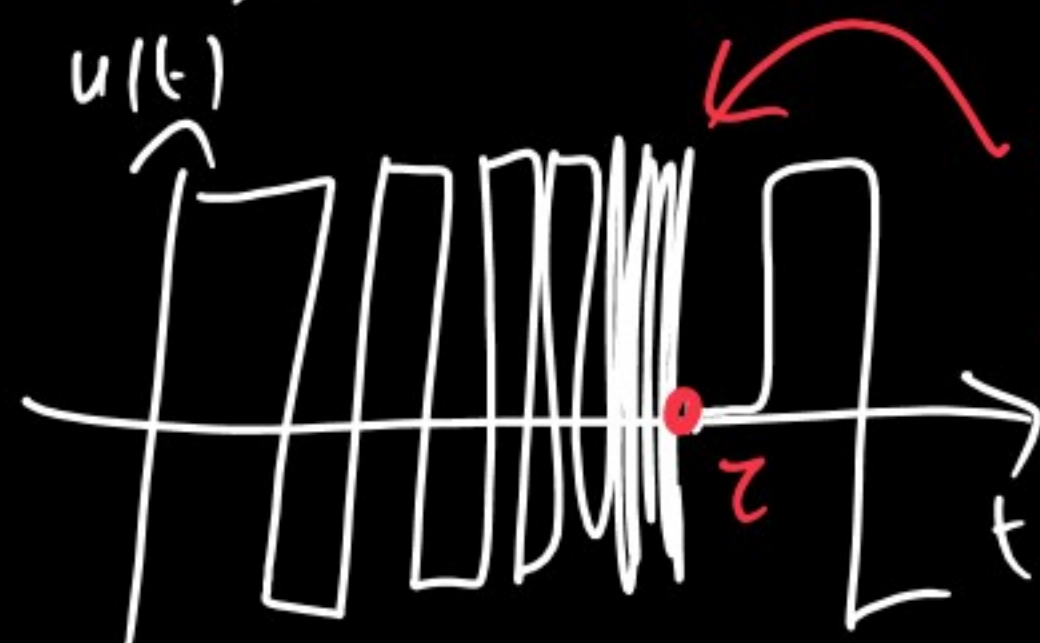
avec $x \notin C^1([0, t_f])$ car pas dérivable)

en $t=z$, mais $x \in W^{1,0} \subset W^{1,1}$

Lipschitz

absolument continue

Ce plus compliqué :



accumulation
de discontinuités
sur u
"Hüllen"



ii) il existe d'autres formes (équivalentes) de critères, à savoir :

- les coûts de Mayer : $g(x(t_f)) \rightarrow \min$

(ce qui suppose une cible plus large que le singleton $\{x_f\}$:

$$x(t_f) \in X_f \subset \mathbb{R}^n)$$

- les coûts de Bolza : $g(x(t_f)) + \int_0^{t_f} f^0(x(t), u(t)) dt$

De fait, toutes ces formes sont équivalentes :

- Lagrange \rightarrow Mayer : on augmente l'état en posant

$$\dot{x}^0(t) = f^0(x(t), u(t)), \quad x^0(0) = 0 \Rightarrow \int_0^{t_f} \underbrace{f^0(x(t), u(t))}_{\dot{x}^0(t)} dt = x^0(t_f) - \cancel{x^0(0)}$$

En notant $\hat{x} := (x^0, x) \in \mathbb{R}^{1+n}$, $n \rightarrow 1+n$: augmentation de l'état, $g(\hat{x}) = g(x^0, x) := x^0$, on a

bien $\dot{\hat{x}}(t) = \hat{f}(\hat{x}(t), u(t))$, $\hat{f}(\hat{x}, u) := (f^0(x, u), f(x, u)) \in \mathbb{R} \times \mathbb{R}^n$

$\hat{x}(0) = (0, x_0)$, $\hat{x}(t_f) \in X_f := \left\{ \begin{matrix} \hat{x} \in \mathbb{R}^n \\ (x^0, x) \end{matrix} \middle| x = x_f \right\}$

- idem dans l'autre sens, et donc par Bolza

iii) le temps t_f peut être libre (= inconnu), auquel cas une solution consiste en un couple t_f, \bar{u} , avec $t_f \geq 0$, $\bar{u} \in L^\infty([0, t_f], \mathbb{R}^m)$

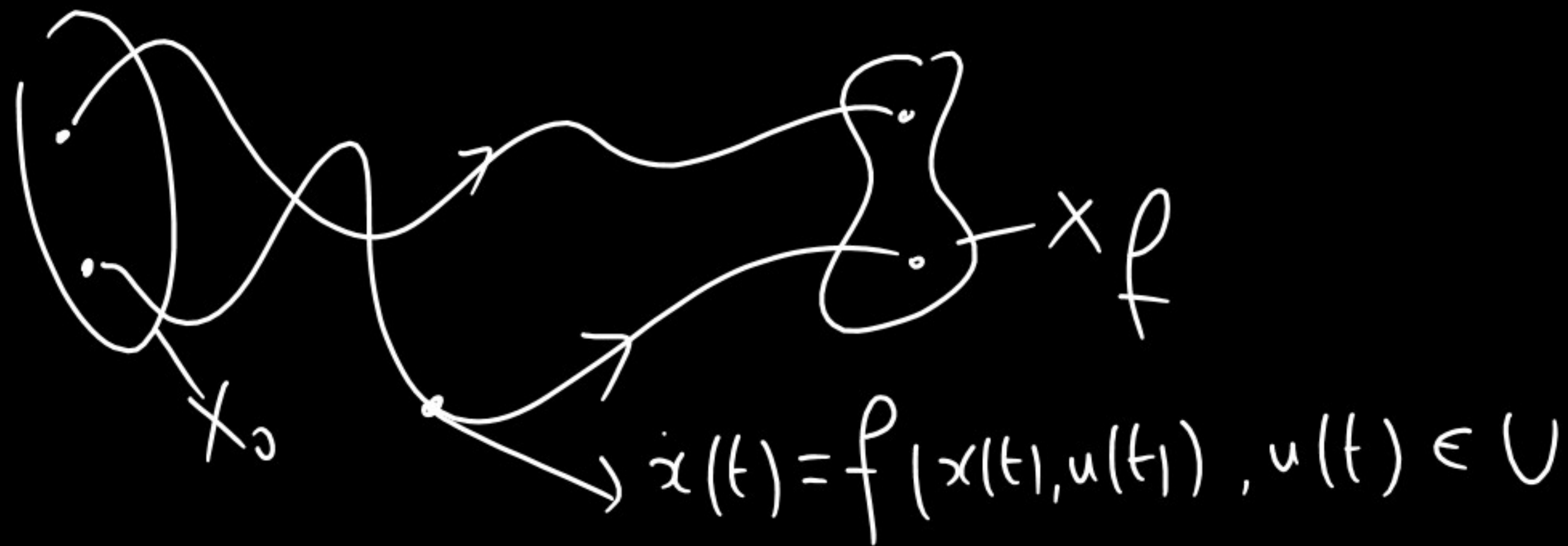
ex: pb en temps (final) min : $\int_0^{t_f} f^0(x(t), u(t)) dt = t_f \rightarrow \min$
avec $f^0(x, u) = 1$



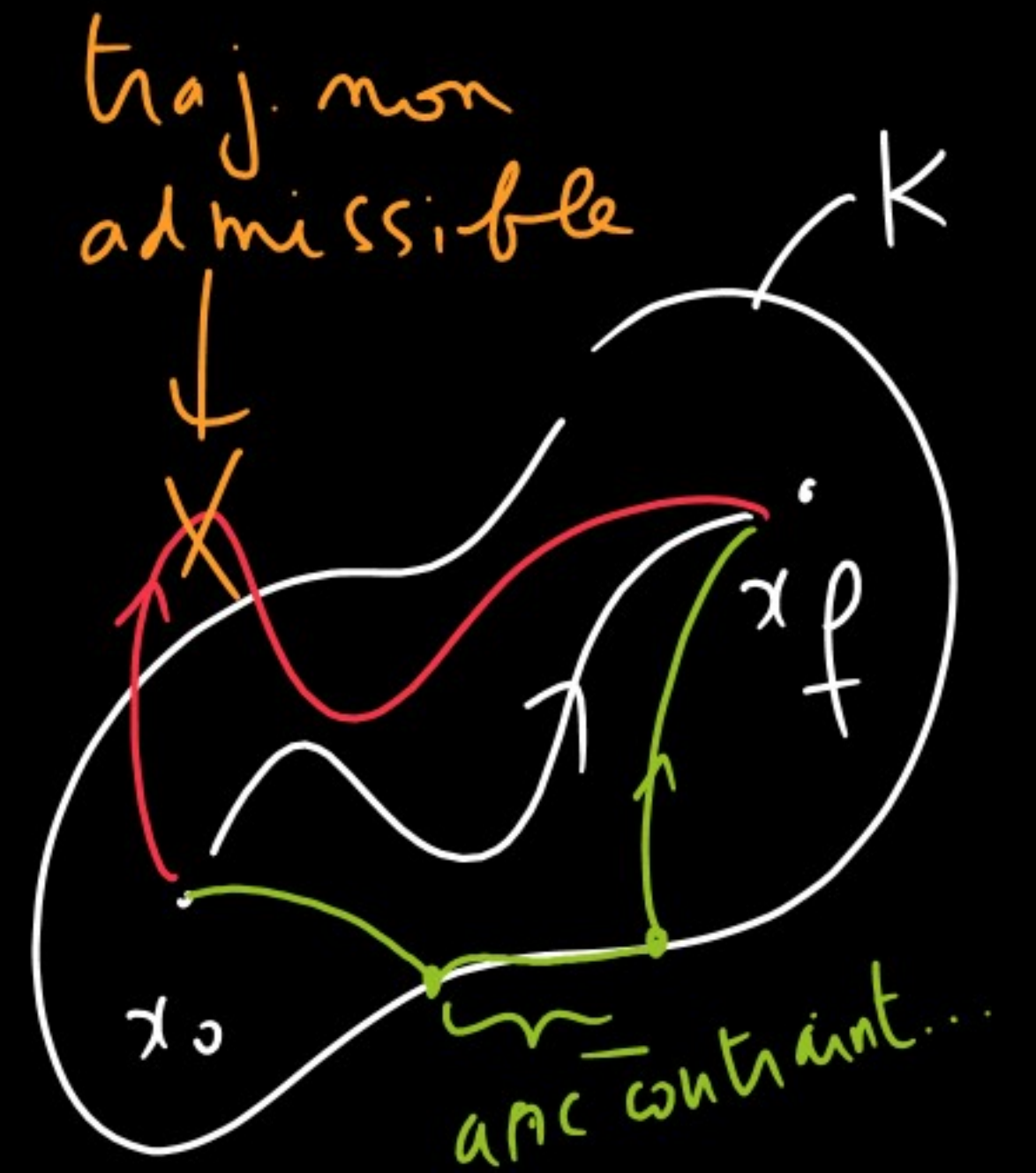
iv) on peut avoir d'autres types de contraintes:

- conditions aux deux bouts plus générales

$$x(0) \in X_0 \subset \mathbb{R}^n, x(t_f) \in X_f \subset \mathbb{R}^n$$



- contraintes sur l'état : $x(t) \in K \subset \mathbb{R}^n, t \in [0, t_f]$



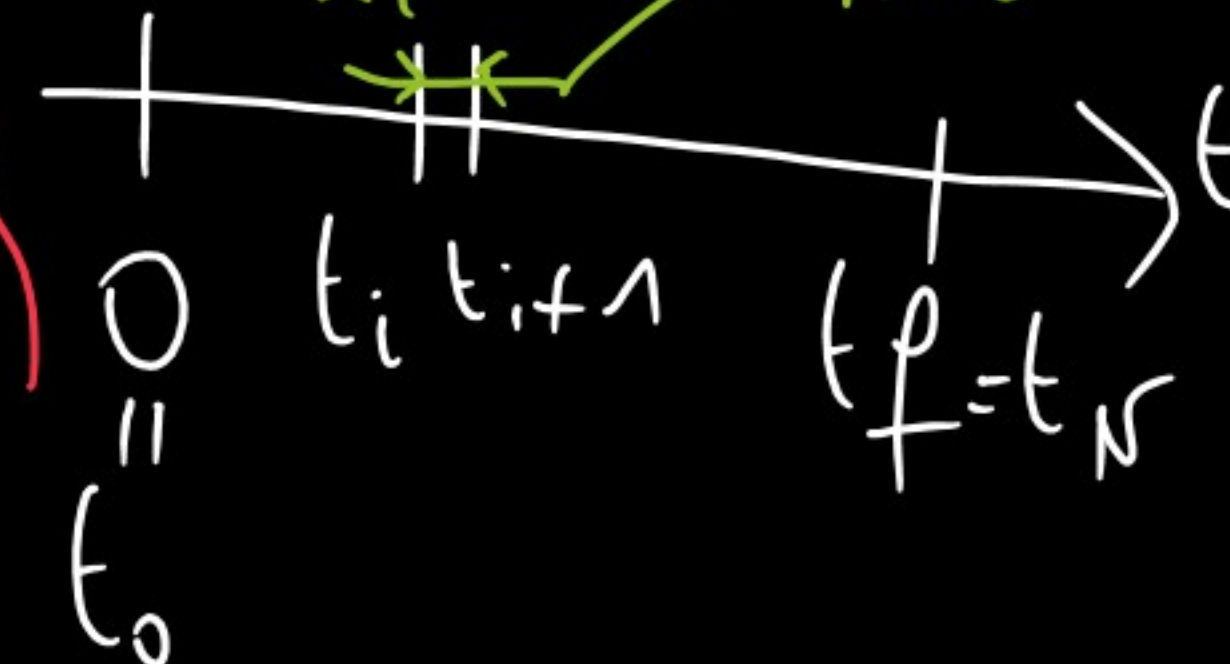
2. Méthodes directes

Soit à résoudre le pb de contrôle suivant :

$$\left\{ \begin{array}{l} \int_0^{t_f} f^0(x(t), u(t)) dt \rightarrow \min \\ \dot{x}(t) = f(x(t), u(t)), t \in [0, t_f] \text{ (p.p.)} \\ x(0) = x_0, x(t_f) = x_f \\ u(t) \in U \subset \mathbb{R}^m \end{array} \right.$$

t_f ← fixé ou non

Approximation
de $x(t), u(t), t \in [0, t_f]$
par $x(t_i), u(t_i), i=0, \dots, N$
 $h > 0$



Avec, par ex., un schéma d'Euler (ou plus généralement un schéma numérique pour la dynamique et le coût de Lagrange qui soit consistant et stable — cf. Th. de Lax :

consistance + stabilité \Rightarrow CV \leftarrow

le schéma ressemble à l'EDO

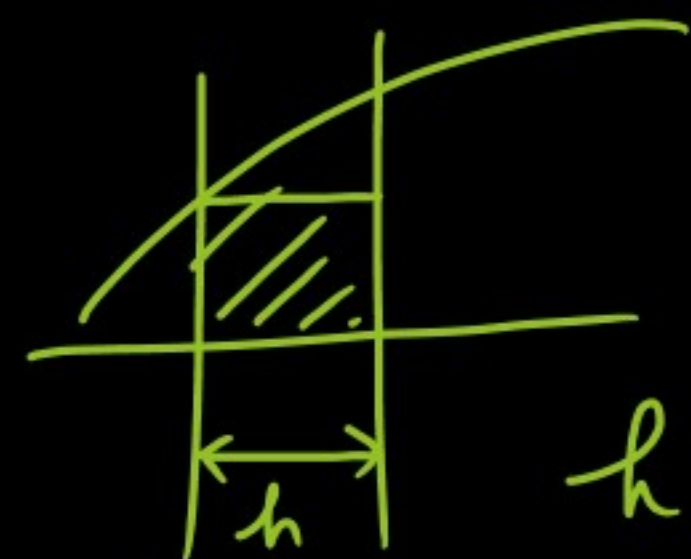
propriété intrinsèque de dépendance continue du schéma (= de la récurrence associée) en la valeur initiale

$x_i \rightarrow x(t_i)$
 $u_i \rightarrow u(t_i)$
 $h \rightarrow 0$

} CV plus ou moins forte (plutôt faible sur $u \dots$)

on se ramène à un pb d'optimisation en dim finie (math program / NLP):
nonlinear

$$\int_0^{t_f} f^0(x(t), u(t)) dt \simeq h \sum_{i=0}^{N-1} f^0(x_i, u_i)$$



h : pas constant
(uniforme)

$$\dot{x}(t) = f(x(t), u(t)), \quad t \in [0, t_f] \simeq x_{i+1} - x_i = h \cdot f(x_i, u_i)$$

$$x(0) = x_0, x(t_f) = x_f$$

(explicit), $i=0, \dots, N-1$

(idem avec
 $h_i := t_{i+1} - t_i \dots$)

$$u(t) \in U, t \in [0, t_f]$$

$$x_0 \text{ connu}, x_N = x_f$$

$$u_i \in U, i=0, \dots, N-1$$

Rq: $u \in U \Leftrightarrow g(u) \leq 0, g: \mathbb{R}^m \rightarrow \mathbb{R}^p$

$$\rightarrow g(u_i) \leq 0, i=0, \dots, N-1 \quad (\text{i.e. } g_j(u_i) \leq 0, j=1, \dots, p)$$

On a donc discrétisé le pb de commande optimale sous la forme d'un pb d'optimisation en dim finie :

$$\begin{cases} F(X, U) \rightarrow \min \\ H(X, U) = 0 \\ G(X, U) \leq 0 \end{cases}$$

avec $X := (x_0, x_1, \dots, x_N) \in (\mathbb{R}^m)^{N+1}$

$$U := (u_0, \dots, u_{N-1}) \in (\mathbb{R}^m)^N$$

$$F(X, U) := h \cdot \sum_{i=0}^{N-1} f^0 \left(\underset{\substack{\uparrow \\ (i+1)\text{ème bloc de } X}}{x_i}, u_i \right)$$

$$X = \begin{bmatrix} x_0 \\ \vdots \\ x_1 \\ \vdots \\ x_N \end{bmatrix} \approx \begin{bmatrix} \xrightarrow{N+1} & & \\ \vdots & & \\ x_0 & x_1 & \dots & x_N \\ \vdots & & & \vdots \end{bmatrix} \begin{matrix} \updownarrow \\ m \end{matrix}$$

$$U \approx \begin{bmatrix} \vdots & & \vdots \\ u_0 & \dots & u_{N-1} \\ \vdots & & \vdots \end{bmatrix} \begin{matrix} \updownarrow \\ m \\ \xleftarrow{N} \end{matrix}$$

et $H(x, u) = \begin{bmatrix} x_1 - x_0 - h \cdot f(x_0, u_0) \mathbb{I}_m \\ x_2 - x_1 - h \cdot f(x_1, u_1) \\ \vdots \\ x_N - x_{N-1} - h \cdot f(x_{N-1}, u_{N-1}) \\ x_0 - \tilde{x}_0 \\ x_N - x_f \end{bmatrix}$

} schéma d'Euler
de la dynamique

$\in \mathbb{R}^{N \cdot m + 2m} = \mathbb{R}^{(N+2) \cdot m}$

renommage de la C.I.
 $x(0) = \tilde{x}_0$

$$G(x, u) = \begin{bmatrix} g(u_0) \\ g(u_1) \\ \vdots \\ g(u_{N-1}) \end{bmatrix} \mathbb{I}_p \quad N \cdot p$$

Rappel : $\dot{x}(t) = f(x(t), u(t)) \in \mathbb{R}^m$

$\Leftrightarrow \dot{x}_i(t) = f_i(x_1(t), \dots, x_m(t), u_1(t), \dots, u_m(t)),$
 $i = 1, \dots, m$

ii) la jacobienne de H est très creuse (sparse) :

$$H'(X, u) = \begin{bmatrix} x_m & I_m & & 0 \\ 0 & x_m & & 0 \\ \vdots & 0 & \ddots & \\ 0 & I_m & & 0 \\ 0 & 0 & & \ddots \end{bmatrix}$$

$\frac{\partial}{\partial u_i}$ également creux
(et idem pour G' ...)

iii) parallélisme SIMD (= Single Instruction Multiple Data) \leadsto (GPU)

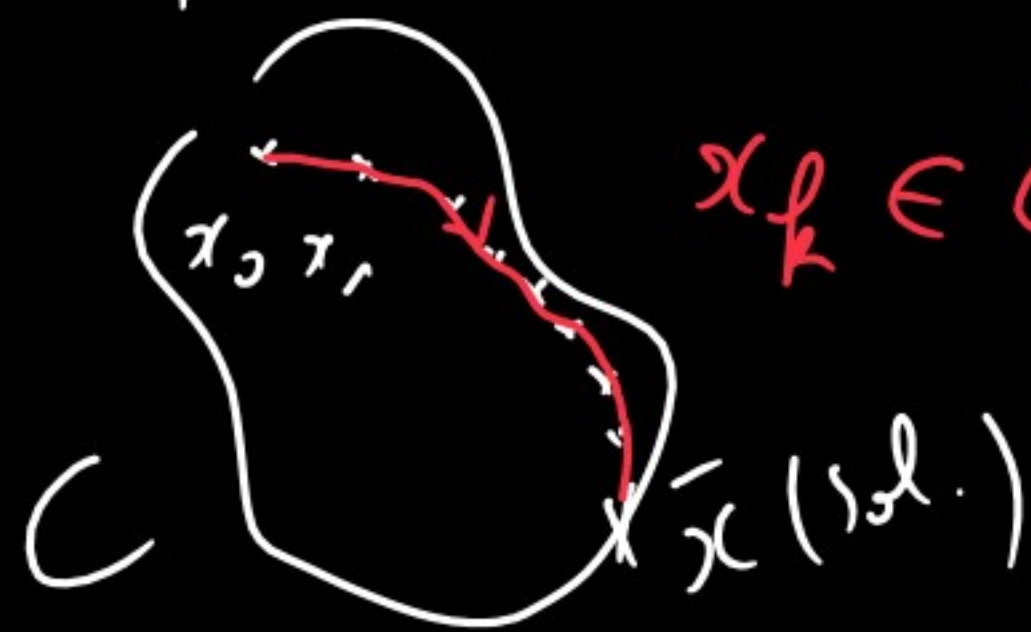
f et g ...

On est finalement en dimension:

- $(N+1) \cdot n + N \cdot m$ pour les inconnues
 - $\underbrace{(N+2) \cdot n}_{\text{égalités}} + \underbrace{N \cdot p}_{\text{inégalités}}$ pour les contraintes
- dim = $O(N(2n+m+p))$

On résout à l'aide d'un solveur d'optimisation nonlinéaire (par ex. Ipopt / Maad NLP, pour des méthodes de pt intérieur)

Rq: i) pt intérieur:

$$\begin{cases} f(x) \rightarrow \min \\ x \in C \subset \mathbb{R}^n \end{cases}$$


$x_k \in \overset{\circ}{C}$: chemin d'itérés de l'algo
 $d'opti \in \overset{\circ}{C}$ (pénalisation intérieure)

$$f(x) + p(x)$$

$$p(x) \xrightarrow{x \rightarrow \partial C} \infty$$

ii) structure creuse :

$$H'(x, u) = \begin{bmatrix} *_{\text{m}} & I_{\text{m}} & & & \\ 0 & *_{\text{m}} & & & 0 \\ & 0 & & & \\ & \vdots & & & \\ 0 & \vdots & & & \\ 0 & 0 & & & \end{bmatrix}$$

Jacobienne creuse
(sparse)

→ creux aussi pour $\frac{\partial H}{\partial u_i}$
→ Algèbre linéaire efficace

iii) parallélisme SIMD (= Single Instruction Multiple Data)

f, g

x_i, u_i